

Pb Свинец

9115-IV

1923

Thorsen

1. Naturwissenschaften 11, 78 (1923)

Pb, g (~~W.M.F.~~) super coquem

Thorsen

1. Naturwissenschaften 11, 78 (1923)

Circ. 500

J



N-8327

P. 2; 2, (2 HEP 2 OCT.).

1924

McLennan, Young, and Selby

J. Trans. Roy. Soc. Can. III 18, 77 (1924)

Circa 500

10



9116-IV

1924

Thoroen

Z. Naturwissenschaften 12, 705 (1924)

Pb, g, (~~-e.m.f.~~) - resp. Cognac

Circ. 500

J



7799 - IV

1925

Gleiter and Grotzka

Z. Physik 34, 370 (1925)

Pb, g, (энерг. сост.)

Circ. 500

J

P6, 2

BQ-8959-v | 1925

(211297. cont.)

Sponer H.

L. Z. Physik 32, 19,
(1925)

PB (223)

130-7463-IV | 1926

(sketch. cont.)

Carroll J.A.

J. Trans. Roy. Soc.,
(London), 1926, A225,

357

7800 - 12

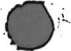
1926

Gieseler and Grotrian

Z. Physik 32, 577 (1926)

Pb, g, (энерг.сост.)

0.120.500



10

PB; 2.

B0-7085-14/1926

Sar N.K.

(approx. cont.)

2. Phil Mag. 3,
633 (1926)

PB: 2

BP - 7084 - IV | 1927

(approx.
cont.)

Gieseler H.

J. Z. Physik 42, 265
(1927)

PB; 2 BQ-7087-IV | 1927

Suz. N. K.
(эксп. сост.)

Z. Physik 41, 791
(1927)

PB, -2.

| BQ-8711-IV | 1928

(except. cont.)

Rao K.R., Rao A.S.,
Nagayam A.L.

1. Indian J. Phys., 1928,

2, 467

PB; 2.

BP-8929-15 | 1928

(sheep. coct.)

Smith S.

J. Proc. Natl. Acad. Sci
U.S., 1928, 14, 878

PB, 2

BP - 8710 - 15 | 1930

(2110pr. coct.)

Rao A. S.,
Narayan A. L.

V. Z. Physik. 59, 687
(1930)

8710

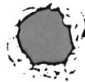
1930

B20 and Nagyan
L. S. Z. Physik 59, 687 (1930)

Pb; 2, (Hepr. coem.)

Circa 500

10



1930

8701

Pb²⁺ (E°, Pf)

Randall M., Cann J.Y.
J. Amer. Chem. Soc., 1930, 52,
589-92

The potential of lead ...

W

Pb

Becker R.

1932r.

Goudsmith S. Moor Ch.

Pb I

Benny V 1, 89.

pb

BP-11-2156

11935

(unexp)

Mack. J. B.;
Fromme. M.,

Phys. Rev., 1935, 48, 357

PB³⁺

BP-6687-IV 1936

(4)

Crawford M.F.

Mc Lay E.B.

Crooker A.M.

pp 455-461.

1937

6687

Pb⁺⁺⁺(J)

Cramford M.F., McLay A.B.,
Crooker A.M.
Proc. Roy. Soc. (London), 1937,
A 158, 455-63

The spectrum of trebly...
J

P. S.
Wolfsen Anderson

1950

Phys. Rev. 78, 417

Magnum, Paris, 6 Avenue

P6T

u.s.p. 343(A).

Смирнoff H.E. Clearmore 1952.

Smirnoff	H.E. Clearmore	1952.
PB	MOSA 42, 373-9	
B	Dyubový смирнoff B, Tn, Tb	
Tn		36 и Bi
Tb		
Bi		

Pb

Pearson W.B.

1958

Canad. J. Phys. 36, 681 (1010, 1017, 627)

Взаимное сопротивление
изменя

1959

Pb

Fisher R.A., Knopf W.C., Kinney F.E.,

Astrophys.J., 130, No 2

Длины волн и интенсивности линий 9 элементов в близкой И.К. области.

W₁ Fe

1962

Pb

Gokhale B.G., Srivastava K.S.

Compt. Rend. 255, 2406

Quadrupole and forbidden transition
in the spectra (L series) of W, Re,

Pb.

I962

Pb

Kay J.G., Kuebler N.A., Nelson L.S.

Nature, I94, 67I (May I9, I962)

Vacuum ultra-violet absorption
spectra of flash-heated lead reacting
with various gases.

P6

Nelson L.S., Kuebler W.A. 1963

Spectrochim. Acta, V. 19, 781-9.

Vaporisation of elements for
atomic absorption spectro-
scopy with capacitor dis-
charge lamp.

(cont. Ann)

1963

Pb, Sn

(f mn)

Oscillator strengths of Sn I and Pb I spectral lines. N. P. Penkin and I. Yu. Slavenas. *Optika i Spektroskopiya* 15(2), 154-65(1963). By the Rozhdestvenskii method of hooks (*Raboty po Anomal'noi Dispersii v Parakh Metallov*, 1951), measurements were made of the abs. oscillator force of resonance lines Sn I ($f_{2s63} = 0.230 \pm 0.005$) and Pb I ($f_{2s33} = 0.212 \pm 0.003$). Detns. were made of the relative f nos. for 29 lines of Sn I and 17 lines of Pb I, which appear during the p^2-ps and p^2-pd transitions. The concn. of impurities in starting samples was $\leq 6 \times 10^{-4}\%$ Sn and $\leq 2 \times 10^{-3}\%$ Pb. For both metals, the spectrograms were obtained in the interval 1496.0-1545.3°K. The concn. of Pb atoms in satd. vapor above liquid Pb was calcd. from the relation $\log p_{mm} = 13.65907 - 10,330/T + 1.545 \times 10^4 T - 1.81309 \log T$. Higher f values were obtained for spectral lines owing to p^2-pd transitions. The exptl. values for Sn I agreed well with the theoretical values calcd. on the assumption that in the investigated configurations, an intermediate bond exists. For Pb I, the exptl. values differ from the theoretical values calcd. for any kind of bond. 17 references.

A. P. Kotloby

C.A.1963.59.12
134506

PB

BP-9558 - 1E | 1964

(E.)

Brill W. G.

Dissertation Abstr., 1964,
25(2), 1964

Рб II

1964

4 Д128. Мультипольные линии в спектрах Bi II и Pb II. Cole C. Daniel. Multipole lines in the spectra of Bi II and Pb II. «J. Opt. Soc. America», 1964, 54, № 7, 859—863 (англ.)

Спектры Bi II и Pb II, возбужденные в ВЧ-разряде в атмосфере He, получены с помощью спектрографа с эталоном Фабри—Поро. В спектре Bi II найдено 5 мультипольных линий: 3240,7 Å ($^1S_0 - ^3P_1$) типа M1; 3683,2 Å ($^1S_0 - ^3P_2$) типа E2; 4850,2 Å ($^1D_2 - ^3P_1$) и 5913,5 Å ($^1D_2 - ^3P_2$) — обе смешанного типа; 7503,2 Å ($^3P_1 - ^3P_0$) типа M1. Сверхтонкая структура (СТС) уровней 3P_1 , 3P_2 и 1D_2 измерена по различным линиям,

φ. 1965. 4 №

⊗

причем получено очень хорошее согласие. В спектре Pb II наблюдалась линия смешанного типа 7099,8 Å (${}^2P_{3/2}{}^0$ — ${}^2P_{1/2}{}^0$); измерена также СТС этих нечетных уровней. Определены константа магн. взаимодействия A для конфигураций $6s^26p^2$ (Bi II) и $6s^26p$ (Pb II) и константа квадрупольного взаимодействия B (для Bi II); результаты сравнены с расчетными величинами.

А. Яров

Pf

Landensperger W.
Stark D.

1964

Z. Phys., 1964, 180, nr 2, 178-183.

Очевидческая универсальнаа
изографическая способность
Re, Rh, Pb и Ti.

(см. Re)

PB
Rowland, R.

June Report, Whiting, 26(1), 1960.

Y.S. Boony
Oscillator strengths of cool
spectral lines: A shock tube
measurement.

РФ - М 1085-IV

1966

Pb

8Д189. Спектр поглощения паров свинца в шуманновской области. Garton W. R. S., Wilson M. Schumann region absorption spectrum of lead vapour. «Proc. Phys. Soc.», 1966, 87, № 3, 841—850 (англ.)

Спектр паров свинца в области 110—2500 Å с фотографирован абсорбционный спектр Pb I. Зарегистрированы 25 линий резкой $6p^2 \ ^3P_0 - 6pns \ ^3P_1$ [(1/2, 1/2)₀ — (1/2, 1/2)₁], $n=8-32$ и 47 линий диффузной ($6p^{23}P_0 - 6pnd \ ^3D_1$) [(1/2, 1/2)₀ — (1/2, 3/2)₁], $n=6-53$) серии с общим пределом $5981\ 98\text{ см}^{-1}$. Данна классификация 48 линий автоионизационной серии с пределом 73901 см^{-1} . Отмечено влияние смешанных конфигураций, включая автоионизационный резонанс типа отмеченного недавно Фано и Купером (РЖФиз, 1965, 11Д129). На основе полученных данных предложена поправка к принятой величине потенциала ионизации Pb I. Библ. 20 назв.

В. Мосичев

д. 1966: 8 №

PB J (E)

B97-M1085-IV

1966

Schumann region absorption spectrum of lead vapor. W. R. S. Garton and M. Wilson (Imp. Coll., London). *Proc. Phys. Soc. (London)* 87(3), 841-50(1966)(Eng). The absorption spectrum of Pb vapor was photographed at good dispersion in the quartz uv and Schumann regions and previous lists of lines and levels for Pb I were extended considerably. Long series were found converging on the ground levels of Pb II; these series contain marked examples of configuration mixing effects, including autoionization 'resonances' of the type emphasized recently by Fano and Cooper (*CA* 62, 8528f). A small amendment to the accepted value for the ionization potential is suggested.

RCPN

C.A.

1966.64.9

180556

Pf

1966

59224n g_J value of the $(6p)^3\ ^1D_2$ state of Pb; hyperfine structure of the 1D_2 state of ^{207}Pb . Allen Lurio and Donald A. Landman (Columbia Univ.). *Colloq. Int. Centre Nat. Rech. Sci.* No. 164, 217-20(1966)(Pub. 1967)(Eng). The hyperfine structure of the $(6p)^3\ ^1D_2$ metastable state of ^{207}Pb ($I = 1/2$) has been measured by at. beam magnetic resonance with the following results, $(^1D_2) = 1524.545 \pm 0.020$ Mc./sec. From measurements on the even isotopes of Pb, the g_J value of the 1D_2 state is found to be $g_J = 1.2263 \pm 0.0001$. The detection of this state puts a lower limit on its lifetime of 1 msec.

T. A. Claxton

C.A. 1967 Pf. 12

1966

Pb

6 Д194. Продолжительность жизни $(6s^26p7s)^1P_1^0$ -состояния свинца. Saloman E. B. Lifetime of the $(6s^26p7s)^1P_1^0$ state in lead. «Phys. Rev.», 1966, 152, № 1, 79—81. (англ.)

Техника пересечения уровней (эффект Ханле) применена для определения продолжительности жизни $6s^26p7s^1P_1^0$ -состояния Pb^{208} . Измеренная по ширине сигнала пересечения уровней продолжительность жизни $6s^26p7s^1P_1^0$ -уровня составляет $4,99(15) \cdot 10^{-9}$ сек., где в скобках указана тройная величина стандартного отклонения. Полученные данные в 4 раза больше продолжительности жизни этого уровня, рассчитанного из сил осцилляторов (по данным Корлиосса и Бозмана). Авторы отмечают, что измерения по методу пересечения уров-

вернутся
изредка

09. 1967. 62

ней не зависят от плотности паров Pb, контура линии в источнике света, условий термич. равновесия и т. д. Установленное значение продолжительности жизни в сочетании с относит. силами осцилляторов всех линий, начинающихся с $6p7s^1P_1^0$ -уровня позволяет рассчитать абс. силы осцилляторов. Кроме того, на основе полученных результатов и литературных данных установлено, что $\tau(^3P_1^0)/\tau(^1P_1^0) = 1,15(4)$.

В. Мосичев

1967

Pb I

II
-

Asami N., et al.

Sei Kei Daigaku Kogakubu
Kogaku Shokokuei, N4, 268

Metal vapor line spectra
in hollow cathode dis-
charge.



(coll. Zn) III
-

Pb.

Lin S.-S., Stafford F.S. 1967

J. Chem. Phys., 47, n 11,
4664.

Fourier series expansion
of the Jaynes-Cummings
electromagnetic field operator.
IV. At zero temperature
IVB.

(Csc. Ag) III

PB

Politzer P.

1968

Trans. Far. Soc.,

64, N9, 2241
—, —, —

(All. Ga) III

1968

Pb

(8r)

11 Д230. Дуговой спектр Pb. Wood David R.
Andrew Kenneth L. Arc spectrum of lead. «J. Opt.
 Soc. Amer.», 1968, 58, № 6, 818—829 (англ.)

В спектральном интервале 1977—12 561 Å измерены длины волн первого эмиссионного спектра свинца, возбужденного в безэлектродной разрядной трубке, содержащей галоид Pb²⁰⁸. Измерены длины волн 370 линий, из них 90 линий наблюдались впервые. Загернистрировано 19 новых четных уровней и 4 нечетных. Изменена классификация 9 энергетич. уровней. Из значений длии волн трех серий Ридберга определена граница нижней серии в спектре Pb $59819,4 \pm 0,3 \text{ см}^{-1}$. Прямыми интерферометрич. измерением линии запрещенного перехода $6 p^2 P_{1/2} - 6 p^2 P_{3/2}$ ($\lambda 7099 \text{ Å}$) получен интервал между

оп. 1968 · 118

границами двух серий, который составляет $14\ 081,074\ \text{см}^{-1}$. Водородоподобные серии уровней до $n=10$ идентифицированы как серии $6\ p\ n g^{1/2}[7/2]_3$. Наблюдаемым линиям соответствует переход $\Delta l=3$, запрещенный при $J=2$ в конфигурациях $6\ p^2$ и $6\ p\ 7\ p$. Так же, как в случае нечетных-нечетных запрещенных переходов между отдельными составляющими $6\ p^2$ -конфигурациями, такие же переходы наблюдали на $6\ p^2$ с уровнем $6\ p\ 7\ p$ и $6\ p\ 5\ f$. Библ. 14.

Д. А. Кацков

PB Gertmann F. 1969

ископаемой (Unio. British Columbia
сверт Vancouver, B.C.). 1969,
no pp. given. Avail. Natl.
Libr. Canad., Ottawa, Ont.,
From. Diss. Abstr. Int.,
B, 1970, 31, 1, 363.

(Ces. Tl) III

Pb

1970

(58821n) Effect of molybdenum and cobalt on intensity of some spectral lines of lead. Shturbova, D. (Higher Pedagog. Sch., Plovdiv, Bulg.). *Nauch. Tr. Viss. Pedagog. Inst., Plovdiv, Mat., Fiz., Khim., Biol.* 1970, 8(1), 41-3 (Bulg). The evapn. curves of Pb in the presence of MoO_3 and CoO have shown that Mo and Co do not change the time of Pb evapn. at 90 sec exposure time (total evapn. of Pb). The intensity of 2476.38-Å, 2577.26-Å and 2628.26-Å spectral lines of Pb was studied for the following mixts.: Pb + C powder, Pb + MoO_3 , and Pb + CoO. In the cases when Pb concn. was equal to 0.425% and 2.21%, Mo did not change the intensity, while Co changed it a little; at concn. of Pb of 7.73-15.05% Mo and Co decreased the intensity of the spectral lines.

S. M. Mitova

C.d. 1971. 4. 12.

PB

Filippov E.S.

1941

Dzv. Vyssh. Naukob.
Zavod Chern. lit

(y) 1941, 14(?) 114-18

1941. 45. 18

C.A. 1941. 45. 18

III, 400 AC

PB

1971.

Измение
Число.
Максимум

130089g Intensities of spectral lines of lead, tin, germanium, silicon, and carbon in a spark discharge. Kondrat'eva, E. V. (USSR). Mater. Nauch.-Tekh. Konf. Leningrad. Elektrotekh. Inst. Svyazi 1971, No. 4, 162-6 (Russ). The effect of electrode spacing on the intensity of spectral lines was studied for single-, double-, and triply-ionized atoms of Si, Ge, Sn, C, and Pb in a spark discharge. An increase in the spacing from 0.5 to 5 mm resulted in a 10- to 100-fold decrease in spectral line intensities. The most intense spectral lines for Sn II and Pb II are tabulated for such a discharge.

J. Beller

(+) Sn; Ge; Si; C.

⊗

C.A. 1973. 78 n20

PB

1971

(53056c) Determination of the electron affinities of copper, tin, and lead atoms by the surface ionization method. Zandberg, E. Ya.; Kameney, A. G.; Paley, V. I. (Fiz.-Tekh. Inst. im. Ioffe, Leningrad, USSR). *Zh. Tekh. Fiz.* 1971, 41(5), 1057-8 (Russ). The electron affinities of ^{208}Pb , ^{120}Sn , and ^{65}Cu are 1.65 ± 0.17 , 1.76 ± 0.16 , and 1.78 ± 0.16 V, resp. They were obtained mass spectrometrically with W wire emitter and agree with the calcd. values of P. Politzer (1968) and E. Clementi (1964). For Pb, Cu, and Sn, metallic Pb, CuCl_2 , and SnCl_2 were evapd., resp., Ag was the ref. element.

Ae



C.A. 1971. 45 8

1872

Pb

Bi

) 133794c Autoionized lines in arc spectra of lead and bismuth.
Assous, Roger. (Lab. Rech. Phys., Fac. Sci., Paris, Fr.). J.
Opt. Soc. Amer. 1972, 62(4), 544-7 (Eng). Autoionized lines
were obsd. in the arc spectra of Pb and Bi. Levels previously
known from absorption measurements were confirmed, but some
lines remain unidentified. The widths and intensities of the
lines were measured, and the variation of intensity referred to the
intensity of a discrete line varied linearly with pressure.

+1

C.A. 1972.76.22

1972

Pb

Pb
Pb₂

в матрице

- 15 Б192. Изоляция Pb и Pb₂ в матрице. V. geweg
 - Leo, Chang Chin-An. Matrix isolation of Pb and
 Pb₂. «J. Chem. Phys.», 1972, 56, № 4, 1728—1740 (англ.)
- Измерены атомные спектры поглощения Pb, изолированного в Ar, Kr, Xe, SF₆ и смешанных матрицах. При т-ре до 20°К в спектрах не обнаружена мультиплетная структура и молек. полосы Pb₂. При нагревании матриц до начала диффузии атомов Pb обнаружено образование молекул Pb₂ (кроме матрицы в Kr). Наблюдающиеся в спектре линии s→p-переходов атомов Pb не изменяются по частоте и ширине при изменении конц-ни Pb от 0,02 до 3 ат.%. Однако частоты этих линий обратимо смещаются в красную область при нагреве матрицы. Для молекул Pb₂ этот эффект не обнаружен. Г. Кузьянц

891

Физика

X. 1972. 15

PB

1972

Bogdanov R.V.

Radiokhimiya 1972, 14(5), 744-6.

• (cet. №; III)

1972

Pb

(UEN
Engg)

53012b Total emissivity determination in massive samples by the inverse methods of heat conduction. Temkin, A. G.; Karpovics, O. (Rizh. Politekh. Inst., Riga, USSR). *Latv. PSR Zinat. Akad. Vestis, Fiz. Teh. Zinat. Ser.* 1972, (2), 55-9 (Russ). The emissivity is detd. by the use of the time functions of the incoming heat flux and the temp. inside the body. The calcns. were performed by the inverse method of heat cond. and the methods were tested with respect to Pb plates. The total emissivity ϵ of Pb as a function of the radiation surface temp. at 260 and 400° is 0.2 and 0.5, resp. The accuracy of ϵ detn. is estd. as $\pm 27\%$. J. Pietkiewicz

Cit. 1972. 7. 8

1973

P6

Дудоров В.В.

"Tip. no земли и зел.
механическ." 1973, №иц 4/35)
141-142.

(Ei)

(all C; III)

1973

PB II

Gutmann F;
Crooker A.H.

Ei. T;

"Can. J. Phys"

1973, 51 (17), 1823-30.



(Acc. TL; III)

1973

Рб

11 Д584. Спектр поглощения паров свинца в ультрафиолетовой и шумановской областях. Козлов М. Г., Милешина С. А., Старцев Г. П. «Оптика и спектроскопия», 1973, 35, № 1, 158—160

На вакуумном спектрографе с обратной дисперсией 2,78 Å/мм получен спектр поглощения паров свинца, начиная от резонансной линии 283,305 нм, а также photoионизационный континуум и автономизованные линии непосредственно за границей ионизации. Необходимая упругость паров создавалась в высокотемпературной печи Кинга. Конц-ия поглащающих атомов вычислялась с помощью ур-ния упругости насыщающих паров и контролировалась измерением полного поглощения линий, для которых известны силы осцилляторов. Измерены относит. значения сил осцилляторов серии $6p^2 {}^3P_0$ — $6pns^2 {}^3P_1$ до $n=15$ и серии $6p^2 {}^3P_0$ — $6pnd^3 {}^3D_1$ до $n=12$. Получено припороговое значение сечения photoионизации свинца. Библ. 7.

И. Дворников

Спектр
поглощ.

fми

2'. 1973 N 11

Pb⁻

1973

A=2710

MAKETA T.? et al.

Mass spectrosc., 1973, 21.
m, 293-301.

Ar⁻

1974

P6

Nitish R.

Ahmad Porvez.

eu. noem.

„Z. Naturforsch“ 1974, 29a,
N 5, 826-828 (auw)

(au Sp Sp₄; III)

Q. 1974. N 11

Pb (II)

1974

(Ei)

143771k Interferometric measurement of lead(Pb II) spectrum. Wood, David R.; Ross, Charles B.; Scholl, Pamela S.; Hoke, Michael L. (Wright State Univ., Dayton, Ohio). *J. Opt. Soc. Am.* 1974, 64(9), 1159-61 (Eng). Interferometric measurement of Pb II lines produced by hollow-cathode sources were made to improve the values of derived Pb II energy levels. A total of 50 lines were measured with a Fabry-Perot interferometer, from which values for 29 even levels and 12 odd levels were derived. Where isotope or hyperfine structure was resolved, the data were adjusted to give the center of gravity of natural Pb.

C.A. 1974.81 n 22

Pb

II

1974

2 Д274. Интерферометрические измерения спектра Pb II. Wood David R., Ross Charles B., Scholl Pamela S., Hoke Michael L. Interferometric measurement of Pb II spectrum. «J. Opt. Soc. Amer.», 1974, 64, № 9, 1159—1161 (англ.)

(ε)

В области длин волн 1796—9070 Å интерферометром Фабри—Перо с расстояниями между пластинками 4,8 и 13,4 мм измерено 50 линий Pb II. Свинец возбуждался в 2 источниках с полым катодом. Улучшено значение для 17 четных и 12 нечетных ранее известных уровней. Точность определения волн. числа составляла $0,03 \text{ см}^{-1}$. Полученные значения длин волн, волн. чисел и класси-

Ф. 1975. № 2

фикация переходов приведены в таблице. Приведены также энергии уровней. Сверхтонкая структура четных изотопов разрешалась для переходов, включающих все $6s6p^2$, $7s^2S_{1/2}$ - и $6d, 7d^2D_{5/2}$ -уровни, при этом волн. число определялось по центру тяжести линий естественного свинца. Для линий, возникающих из основного уровня $6p^2P_{1/2}$ и лежащих в вакуумной УФ-области, интерферограммы получить не удалось. Разрешены $ng^2G_{7/2,9/2}$ -термы для $n=5-10$ на 12 отдельных уровнях, и определено $^2G_{7/2}-^2G_{9/2}$ -расщепление. Члены ng серии рассчитаны из переходов на f -уровни. Л. Гуляева

Ph, TC

Pb (7)

1975

845-11146

Goldsmith Samuel, Conway John G. Analy-
sis of the configurations $5d^8 6s^2$ in Pt^{II}
through Hg_{III} and $5d^9 6p$ in Pt_I thro-
ugh Bi_{VI}. "J. Opt. Soc. Amer.", 1975,
65, N 11, 1371-1375(англ.)

0523 инк

511 512 39

ВИНИТИ

50430.8401

TC, Ph, MGU

300 зеерг/с 1975
Pb II⁺ термов ~~Ху 8788~~

Heddle D.W.O.

Resonances in electron-mercury scattering.

"J. Phys. B: Atom. and Mol. Phys.", 1975, 8,

N 4, L33-L36

(англ.)

0352 РИК

332 334 3 4 4

ВИНИТИ

Pb

In

Ba

спектр
в матрицах.

* 43-11540

1975

6 Д286. Спектры поглощения атомов свинца, индия и бария в твёрдых инертных матрицах. Malo S. A. Absorption spectra of lead, indium and barium atoms trapped in solid rare gas matrices. «Spectrochim. acta», 1975, В 30, № 12, 501—509

Исследованы спектры поглощения атомов свинца, индия и бария в Аг-, Кг- и Хе-матрицах при т-ре 4,2°К в области 170—270 нм. Спектры сравнены с полученными ранее в матрицах и в газовой фазе. Библ. 14.

(+2)



Ф 1976 № 6

Pb

Xig -11540

1975

In

Ba

(check sample)

F2

C. S. 1976. 84 n16

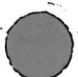
Pb

1973

Chou et al.

Electron. Transit!

Lasers ; Cambridge,
Mass.-London, 1976, 125-47.



(ed. As)

(robust
ageproof
superfast)

Pb^{2+} (одзоп)

1996

Harrison P.C.

(сигн.)

Coord. Chem. Res.,
1976, 20, N.I, 136

Chem. Co^{2+} ; III)

Pf XV

ommuck 4744

1976

Pf XIV

Raufman Victor.

Sugar Jack.

(7)

"J. Opt Soc Amer" 1976,
66, N10, 1019-1025 (awrd)

1976

Pb(II)(E_i)

84: 67350s Series limit and hydrogenlike series in lead II.
Ross, Charles B.; Wood, David R.; Scholl, Pamela S. (Wright State Univ., Dayton, Ohio). *J. Opt. Soc. Am.* 1976, 66(1), 36-9 (Eng). The 1st 6 members of the 6s²ng series of Pb II were fitted to a polarization formula, from which the series limit was detd. to be 121, 245.14 ± 0.05 cm⁻¹. This value is in good agreement with that detd. from the same series by an extended Ritz formula, as is also the case with the nf, ng, and nh series of Mg II, the nf series of Cs I, and the ng series of Pb I. The polarization parameters empirically detd. from the ng series of Pb I were used to predict level values for the nh series, 6 members of which were subsequently found.

C.A. 1976, 84v10

Pb (II)

1976

6 Д285. Предел серий и водородоподобные серии в
Pb II. Ross Charles B., Wood David R.,
Scholl Pamela S. Series limit and hydrogenlike se-
ries in PbII. «J. Opt. Soc. Amer.», 1976, 66, № 1, 36—39
(англ.)

Полуэмпирическая поляризационная ф-ла использова-
на для описания энергий уровней шести членов
 $6s^2ng$ -серии Pb II. Полученные с помощью этой ф-лы
потенциал ионизации Pb II ($121245,15 \pm 0,05 \text{ см}^{-1}$) и
константы дипольной ($A = 2,349 \pm 0,004 \cdot 10^7 \text{ см}^{-1}$) и
квадрупольной ($B = 2,55 \pm 0,08 \cdot 10^8 \text{ см}^{-1}$) поляризации
позволяют с точностью $\sim 0,1 \text{ см}^{-1}$ вычислить энергии
 nd -серии, 6 членов которой обнаружены (с использо-
ванием расчетных данных) в спектре полого катода.

К. Н. К.

Ф 1976 № 6

1977

Pb

88: 13975p Interchannel interactions and series quenching in the 5d and 6s spectra of lead (Pb I). Connerade, J. P.; Garton, W. R. S.; Mansfield, M. W. D.; Martin, M. A. P. (Blackett Lab., Imp. Coll., London, Engl.). *Proc. R. Soc. London, Ser. A* 1977, 357(1691), 499-512 (Eng). The absorption spectrum of Pb vapor at 320-1070 Å was obtained. More than 60 transitions were found, mostly arrangeable in series which are due to excitation of either a 5d or 6s electron. Pronounced interchannel interactions occur, similar to those in the corresponding spectrum of Tl I. The observations confirm the applicability of a spectator model for 6s excitation. The comparatively low energy of the double ionization threshold results in quenching of all but 1 kd excitation series.

Check

320 - 1070 Å

C.A. 1978, 88, 162

P6 -

Feldmann D.

1977

"Z. Naturforsch.", 1977,
32a, N 3-4, 302-306,

гидроотмыв
зеленых раков.



(acc. B-) III

P6

Husain D.

1977

"Ber. Bunsenges. phys. Chem.",
1977, 81, N2, 168-174.

Jel-bojs.
cocci.

X. 1977. N16 :

(cur. C) III

1974

P6

Kozlov M. F.

europ

Prikl. Spektrosk. 1974,

nordory.

134-4

b b. y. go.

(Ces Ces lit)

1974

Pb

23 Б1286. Использование метода линейного поглощения в измерениях концентраций атомов при импульсном фотолизе молекул. Убелис А.П., Рупкус Я.Э., Силиньш Ю.А. В сб. «Прикл. спектроскопия» М., 1977, 103—106

Сибирь
Метод линейного поглощения использован для регистрации кинетич. кривых спада конц-ии возбужденных метастабильных атомов $Pb(^3P_{2,1})$, возникающих при импульсном фотолизе паров $PbBr_2$ при давл. $1,25 \cdot 10^{-4}$ мм в присутствии 10 мм Аг, при т-ре 1000°К. По интенсивности поглощения линий 261,4; 364,0; 368,3; 280,2; 287—405,8 им определяли абс. конц-ии атомов Pb. В кач-ве детектирующего источника света применяли безэлектродную ВЧ-лампу. Диапазон изменения ОП поглощающего слоя $k_0 l$ составлял 0,1—1. Суммарные константы

Х. 1974 № 23

скорости дезактивации атомов в соударениях с PbBr_2 и PbBr найдены равными $4 \cdot 10^{-10}$ и $3 \cdot 10^{-10} \text{ см}^3/\text{молекула}\cdot\text{сек}$ для $\text{Pb}(^3P_2)$ и $\text{Pb}(^3P_1)$ соотв. Аналогичные измерения проведены также при импульсном фотолизе паров TIJ , где зарегистрированы кинетич. кривые спада абс. конц-ий атомов TI по измерениям поглощения спектральных линий 535,0; 352,9 и 351,9 нм. Сечения тушения атомов $\text{TI}(^3P_{3/2}^0)$ молекулами TIJ и J_2 найдены равными соотв. $1,67 \cdot 10^{-16}$ и $162 \cdot 10^{-16} \text{ см}^2$, что хорошо согласуется с известными лит. данными. В. Е. Скурат

Pf.

1979

Connerade J.P.

(Ei)

J. Phys., 1979, B12 (z)

L 223 - L 227

(eca. Tn; \bar{m})

Pb

annua 7663 ♂ 1979

Migdalek ♀

fmo.

Can. J Phys. 1979,

52, 147 -

Klaassen Ommeck 11739 1981

Pb

check
on availability

195: 32908e Curve-crossing collisions of excited lead atoms in flames. Brady, T. J.; Phillips, L. F. (Chem. Dep., Univ. Canterbury, Christchurch, N. Z.). *Proc. R. Soc. London, [Ser.] A* 1981, 376(1767), 545-64 (Eng). Pb atoms, present as a trace additive in a series of premixed H₂-N₂-O₂ flames, were excited to the 7³P₁° state by 405.8 nm radiation from a N₂ pumped dye laser. Rate consts. for spin-orbit relaxation to the 7³P₀° state were obtained sep. for collisions with at. H and for collisions with the bulk flame gas, by measuring the relative intensities of fluorescence at 364.0 and 368.3 nm as a function of distance from the reaction zone in each flame. For H atoms the rate const. is typically 1×10^{-9} cm³ mol.⁻¹ s⁻¹, decreasing with increasing temp.; for the bulk flame gas the rate const. is typically 1×10^{-11} cm³ mol.⁻¹ s⁻¹, increasing with increasing temp. Numerical calcns. for model systems, with the use of Morse and Lennard-Jones potentials to describe the interaction of the colliding species, show that the neg. temp. coeff. found for at. H can be attributed to the crossing of attractive potential curves, corresponding to bound excited states of PbH.

C.A. 1981. 95 N4

РМН

Pb

1981

Ae; ~~Xp~~

8 Б96. Экспериментальное определение сродства к электрону германия, олова и свинца путем диссоциативного присоединения электрона к сульфидам этих элементов. Grinot A., Cottin M., Gotchiguiyan P., Muller J. C. Mesure experimentale de l'electro-affinite du germanium, de l'étain et du plomb par attachement électronique dissociatif sur les sulfures de ces éléments. «Int. J. Mass Spectrom. and Ion Phys.», 1981, 41, № 1—2, 31—43 (франц.; рез. англ.)

Определены потенциалы появления ионов, образующихся при электронном ударе из PbS (I), SnS (II) и GeS (III): Pb^+ — 11,1 эВ; Sn^+ — 12,8 эВ; Ge^+ — 13,7 эВ; S^+ — 13,7; 16,2 и 18,1 ($\pm 0,2$) эВ для I, II и III соотв. При диссоциативном присоединении электрона найдены следующие резонансные области: Pb^- — 2,4; 3,5; 6,6 эВ; Sn^- — 3,5; 4,7; 6,6 эВ; Ge^- — 4,5; 5,5 эВ; S^- — 1,5 и 2,7; 3,0; 3,7 ($\pm 0,2$) эВ для I, II и III соотв. По ур-ниям термодинамич. баланса образования ионов Pb^- , Sn^- и Ge^- вычислено сродство к электрону Pb, Sn и Ge: 1,2; 1,4; 1,2 ($\pm 0,1$) эВ соответственно.

А. Кирюшкин

X. 1982,
19, № 8 (+2)
Sn, Be

PB

1981

Chikkor B. N., et al.

R.B. Mees. Phys. scr., 1981, 23,
parteis. N6, 1055 - 1065.

(see. Yi; iii)

Pb

Lommel 11462 | 1981

Feigerle C.S., et al.

(He⁻)

J. Chem. Phys.; 1981, 74(2)
1513-15.

(all. B;  III)

Pb

1981

Feigerle C.S., et al

J. Chem. Phys., 1981, 74(3),
1580-98

He

● (Cu₂Ti) III

PB

1981

Mühlbeck J., et al.

Surface Sci., 1981,

Kongnenius

(Dace-Ekspres) — 106, N 1-3, 188-194.

(See. SB; iii)

P8

Loewenherz 12383 } 1981

Sen K.D., et al.

(A \bar{e})

J. Chem. Phys., 1981,
75 (2), 1037 - 1038.

Pf

1981

Sir'ko G. V.

Chisl. Metody Mekh.

mechanizm., Splosh. Sredy, (Novo-
kib. učeb. Sibirsk) 1981, 12 (1),
pačcius.

121-130.

(ces. fl; ii)

Pb

1982

6 Д42 К. Сверхтонкая структура в атомах с 4d- и
5d-оболочками. Hyperfine structure in 4d- and 5d-shell
atoms. Büttgenbach S. Berlin e. a.: Springer, 1982.
VIII, 97 pp., ill. (Springer Tracts Mod. Phys., Vol. 96).
ISBN 3—540—11740—7 (англ.)

(Ei)

cf. 1984, 18, N 6

Pb

1984

6 Д43. Анализ тонкой и сверхтонкой структуры нечетных конфигураций атома свинца. Fine- and hyperfine structure analysis of the odd configurations in the lead atom. Dembczynski J., Rebel H. «Z. Phys.», 1984, A315, № 2, 137—144 (англ.)

На базе имеющихся эксперим. данных проведен анализ тонкой и сверхтонкой структуры (СТС) для конфигурации $6s^26p6d + 6s^26p7s + 6s^26p8s$ в PbI. Определены слэтеровские интегралы, спин-орбитальные параметры и эффективные одноэлектронные параметры СТС. Обнаружен недиагональный эффект поляризации остова в пространстве $6p6s + 6p7s$. С использованием рассчитанных радиальных параметров определены значения квадрупольных моментов для стабильных и радиоактивных ядер Pb из измеренных B-факторов состояния $6p7s^3P_1$. В дополнение исследовано влияние отталкивания на подуровни СТС с одним и тем же квантовым числом F.

Н. В.

тонкая и
сверхтонкая
структур

оп. 1984, 18, № 6

Pb

1982

12 Д533. Оптические свойства жидких Pb и Bi между 0,6 и 3,7 эВ. Optical properties of liquid Pb and Bi between 0.6 and 3.7 eV. Inagaki T., Agakawa E. T., Cathers A. R., Glastad K. A. «Phys. Rev. B: Condens. Matter», 1982, 25, № 10, 6130—6138 (англ.)

С помощью эллипсометрич. методики определены оптич. постоянные жидких Pb и Bi соответственно при 341 и 285° С. В спектрах, кроме поглощения, связанного со свободными электронами и описываемого теорией Друде, отмечено избыточное поглощение, отвечающее межзонному поглощению в твердых металлах. Результаты интерпретированы с помощью данных об оптич. плотности состояний в указанных металлах, определенной как экспериментально, так и расчетным путем. Библ. 31.

Д. Г.

оптические
св - фз

18

(7)

99. 1982, 18, N 12

Pf, Pb⁺

1982

Martin T. P.

creativper

J. Chem. Phys., 1982

77, N8, 3815 - 3820.

(Au. Pb Te; III)

1982

Pb

96: 171499f Determination of the relative oscillator strengths of lead(Pb I) lines by a line absorption method. Muradov, V. G.; Kudryavtsev, Yu. N.; Muradova, O. N. (USSR). *Opt. Spektrosk.* 1982, 52(3), 421-4. (Russ). The previously described (M., 1977) line absorption method was used to obtain the relative oscillator strengths f for 10 lines of Pb I in the wavelength range 224-364 nm which have a common origin in the metastable level 6^3P_1 (0.97 eV). The calcns. which accounted for Voigt contours of hyperfine structures gave a substantially more accurate f values for 3 Pb I lines. The exptl. spectra were obtained for a thermodynamically equilibrated system sat. vapor-liq. Pb using a hollow-cathode lamp excitation.

C.A. 1982, 96, n20

Pf

1982

Pettersson Lars, Wahl
meister. gren Ulf.

paciū Chem. Phys. Lett.,
1982, 89, N1, 26 - 30.
(cer. Fe; Fe^{III})

Pb

1982

(Σ_i)

96: 171569d High-resolution measurements of isotope shifts in lead. Thompson, R. C.; Hanser, A.; Bekk, K.; Meisel, G.; Froelich, D. (Inst. Angew. Phys., Kernforschungszent. Karlsruhe, D-7500 Karlsruhe, Fed. Rep. Ger.). *Z. Phys. A* 1982, 305(1), 89-90 (Eng). Laser spectroscopic measurements of isotope shifts and hyperfine structure in 10 stable and unstable Pb isotopes, including 2 not previously measured are reported.

c.a. 1982, 96, N20

Pb

[Oct. 1975]

1983

Brunot A., Cottin M.,
et al.

Ak; Int. J. Mass Spectrom.
and Ion Phys. 1983, 54,
N1-2, 17-30.

Pb

1983

99: 79160c Transition probabilities of forbidden lines within the electronic configurations $6p^2$ and $6p7p$ of lead(Pb I). Gil, Tomasz; Heldt, Jozef (Univ. Gdansk, Poland, PL-80-952 Gdansk, Pol.). *Z. Phys. A* 1983, 312(4), 343-7 (Eng). The least squares fit of radial parameters involving radial functions of the $6p^2$ - and $6p7p$ -configurations of Pb I was carried out. The wave functions of the 9 lowest even levels of Pb I were found in the basis of LSJ -states belonging to 2 configurations. On the base of the wave functions, the transition probabilities for magnetic dipole ($M1$) and elec. quadrupole ($E2$) radiation were calcd. Comparison of exptl. data and theor. results is discussed.

(f_{nm})

C.A. 1983, 99, N10

Pb

1984

12 A53. «Аномальное» сродство к электрону у свинца. The «anomalous» electron affinity of lead. Chamizo José Antonio. «J. Chem. Educ.», 1984, 61, № 10, 874 (англ.)

Определенное недавно методом лазерной фотоэлектронной спектрометрии сродство к электрону у свинца (0,365 эВ) существенно отличается от известного ранее в лит-ре значения (1,1 эВ) и от значений для элементов 4A группы. Подобная аномалия объяснена в рамках спин-орбитального спаривания. Предложено использовать релятивистские эффекты для объяснения аномальных св-в тяжелых металлов (напр., желт. цвета золота, жидк. состояния ртути при нормальных условиях, высокое значение потенциала ионизации и др.). Ю. Г. Метлин

He;



X. 1985, 19, N 12

PB

1984

Esser M.

Int. J. Quantum Chem.,

81; 1984, 26, N3, 313 - 338.

(\bullet cusp. Mg; III)

Pb

1984

6 Д9. Методика измерений сечений полной, однократной и многократной ионизации атомов металлов электронным ударом: сечения ионизации атомов свинца. Головач Д. Г., Шустряков В. М. «Физ.-хим. процессы в преобразователях энергии». М., 1984, 17—20

Описана методика, позволяющая в условиях одного эксперимента проводить измерения сечения полной ионизации атомов металлов, а также сечений ионизации с разделением ионов по кратности ионизации. Представлены данные по сечению ионизации свинца.

Резюме

сечение
ионизации

№ 17

оф. 1985, 18, № 6



Методика измерений
сечений ионизации.

PB

1984

Robles Gievenco, Bartolotti
Libero J.

Ae, pacrem

γ, γεκιπο-
οινπεγαν.

J. Amer. Chem. Soc.,
1984, 106, n13, 3723-
-3727.

● (eu. O₃; III)

Pb

1985

103: 112451z Radiative lifetimes of lead(Pb I and Pb II) excited states. Gorshkov, V. N.; Verolainen, Ya. F. (USSR). *Opt. Spektrosk.* 1985, 58(6), 1383-4 (Russ). The radiative lifetimes of 12 energy levels of Pb I and Pb II were measured by a multichannel method of delayed coincidence.

(E)

c.A.1985, 103, N14.

205 Pb

1987

107: 245647x HFS and isotope shift in the atomic spectra of lead-205. Barboza-Flores, M.; Redi, O.; Schonberger, P.; Sozzi, H. H.; Naumann, R. A. (Dep. Phys., New York Univ., New York, NY 10003 USA). *Z. Phys. D: At., Mol. Clusters* 1987, 7(2), 153-157 (Eng). The hyperfine structure (hfs) of ^{205}Pb in the 253 nm resonance line and its isotope shift (IS) were measured in absorption with the use of dispersive spectroscopy. A new method of calibration and anal., when internal stds. are not available, is described. The results are: hfs interaction consts. $A = 70.3(5)$ cm $^{-1}$, $B = -0.6(1.1) \times 10^{-3}$ cm $^{-1}$, $^{205}\text{Pb}-^{208}\text{Pb}$ IS = $-123.9(2.0)$ cm $^{-1}$. The derived nuclear magnetic dipole moment, $\mu = 0.764$ is in good agreement with values calcd. with a nuclear configuration mixing model.

ноян. сб. эксперим.
код паспорта

c.A.1987, 107, N26

Pb

1987

6 Л129. СТС и изотопический сдвиг в атомном спектре ^{205}Pb . HFS and isotope shift in the atomic spectrum of ^{205}Pb . Barboza-Flores M., Redi O., Schönberger P., Stroke H. H., Naumann R. A. «Z. Phys.», 1987, D7, № 2, 165—170 (англ.)

С помощью дифракционного спектрометра исследовалась сверхтонкая структура спектра поглощения излучения парами долгоживущего изотопа ^{205}Pb на переходе $6p^2\ ^3P_0 - 6p7s\ ^3P^1$ (283,3 нм). Для получения реперного спектра применялся атомный пучок со стабильными изотопами свинца. Измерены константы сверхтонкого расщепления состояния 3P_1 и изотопич. сдвиг по отношению к ^{208}Pb . Извлечены величины электромагн. моментов μ и Q ядра ^{205}Pb , которые также хорошо соответствуют имеющимся эксперим. и теоретич. данным.

В. Н. Федосеев

ll-11.

φ, 1988, 18, N 6

P8

1987

Lai Hing R., Wheeler R.G.
et al.

Phys. and Chem. Small
Clusters: Proc. NATO Adv.
Res. Workshop and Int. Symp.
Richmond, Va, Oct. 28-Nov. 1,
1986. New York; London, 1987,
83-87. (cu. Sn);) III,

Pb

1987

7 4 Л144. Сверхтонкая структура и изотопический сдвиг 52-часового ^{203}Pb на переходе $6p^{23}P_0 - 6p7s^3P_1$, 283,3 нм. Hyperfine structure and isotope shift of 52-h ^{203}Pb in the $6p^{23}P_0 - 6p7s^3P_1$ 283,3-нм transition. Moscatelli F. A., Redi O., Stroke H. H., Wiggins R. L. «J. Opt. Soc. Amer.», 1987, V4, № 8, 1297—1302 (англ.)

С помощью дифракционного спектрометра с разрешением 10^6 измерен спектр поглощения паров с нестабильными изотопами ^{203}Pb на указанном переходе. Исследуемые изотопы нарабатывались на циклотроне при бомбардировке deutронами мишени из ^{203}Tl . Описана методика очистки мишени от примесей стабильных изотопов и приготовления образца, содержащего ≈ 50 нг радиоактивных изотопов. Измеренные константы сверхтонкого расщепления состояния $6p7s^3P_1$, изотопич. сдвиг $^{203}\text{Pb} - ^{208}\text{Pb}$ и извлеченные величины

(Ei)

св. 1988, 18, № 4

магнитного дипольного и электрического квадрупольного момента ядра согласуются с более точными данными лазерно-спектроскопич. измерений. Из результатов измерений изотопич. сдвигов, включая данные о $^{202,204}\text{Pb}$, определена величина параметра нечетно-четного колебания среднеквадратичного зарядового радиуса ядра $\gamma=0,39(14)$, которая подтверждает результаты известного теоретич. расчета по оболочечной модели с возбуждением остова. Библ. 45. В. Н. Федосеев

Pb

1988

110: 15450k Laser spectroscopic studies of 6pns, 6pnd, and 6png Rydberg states of lead. Buch, P.; Nellessen, J.; Ertmer, W. (Inst. Angew. Phys., Univ. Bonn, D-5300 Bonn, 1 Fed. Rep. Ger.). *Phys. Scr.* 1988, 38(5), 664-9. (Eng). An at. beam of natural Pb with a population of even parity metastable states was prep'd. in order to study odd parity Rydberg states of the $6p_{1/2}nl$ ($16 \leq n \leq 67$; $l = 0, 2, 4$) series. These states were excited by a continuous-wave UV laser field and were detected either by fluorescence or by field ionization. The abs. frequency of each transition component was measured by a fringe counting wavemeter. From exptl. data, the spacing ν_{208} between the metastable Pb I ($6p^2$) 1D_2 level and the 1st ionization limit Pb II ($6p$) $^2P_{1/2}^0$ for the isotope ^{208}Pb is $\nu_{208} = 1,150,057,450$ (150) MHz, the isotope shift of this spacing being $\nu_{208} - \nu_{207} = 1260$ (20) MHz $\nu_{208} - \nu_{206} = 2026$ (6) MHz $\nu_{208} - \nu_{204} = 3827$ (10) MHz. The magnetic hyperfine structure const. of the ion ground state as derived from the Rydberg state hyperfine structure is $A_{(^{207}\text{Pb} \text{II}, 6p, ^2P_{1/2}^0)} = 12,880$ (100) MHz.

(Puglenn. COCM.)

C.A. 1989, 110, N2

Pb

Do. 32162

1989

Ding D., Lin N.,
Piegay- Lih H., et al.,
Czechoslovakia

J. Phys. B. 1989,
22, N 12, 1979 - 1991

Pb

1989

Geras P. S.

J. Appl. Phys. 1989,

(fmr) 65(3), 905-7.

(aer. Ge; II)

PB-

1991

Cowan R.D., Wilson M.

He,
El Phys. Scr. 1991. 43, N3. C.
 244-247.

(cell.  Be⁻, $\frac{1}{2}$)

PB I

1992

117: 241995t Laser-excited fluorescence spectrum of lead iodide. Patino, P.; Tovar, A.; Iacocca, D. (Fac. Cienc. Univ. Cent. Venezuela, Caracas, Venez. 47102). *Collision Processes Ion, Positron, Electron Photon Beams Matter, Proc. Lat. Am. Sch. Phys.* 1991 (Pub. 1992), 388-92 (Eng). Edited by De Azevedo e Souza, Ana Cecilia. World Sci.: Singapore, Singapore. The PbI fluorescence spectrum was obtained from excitation by the 4880 Å line of an argon laser. From a fit to the obsd. lines, preliminary rotational consts. were estd. and vibrational ones for the ground state were improved.

CARRERA 994 -
OPCUA, FRANCIA
NOVEMBER. OCT.
WCMWCH.

WCMWCH.

C. A. 1992, 117, N 24

Pb(I)

1994

(CREMPS)

120: 229994w Measurement and interpretation of the odd-parity levels of Pb I. Dembczynski, J.; Stachowska, E.; Wilson, M.; Buch, P.; Ertmer, W. (Inst. Fiz., Politech. Poznanska, 60-965 Poznan, Pol.). *Phys. Rev. A* 1994, 49(2), 745-54 (Eng). Considered are 61 odd-parity configurations of Pb I utilizing all data available from absorption and emission spectroscopy measurements, photoionization expts., and ejected-electron spectroscopy. These include detailed results of earlier laser spectroscopic studies of the $6s^26p_{3/2}$, $6s^26p_{1/2}$, and $6s^26p_{-1/2}$ Rydberg levels (B. et al., 1988). The anal. was performed with the aid of a linked-parameter method of level-fitting calcns. in a large multiconfiguration basis. New identifications of the $6s6p^3$ levels are proposed, and reasons for their assignment are presented. On the basis of the level-fitting calcns., precise assignments of 242 odd-parity electronic energy levels are given. Eigenvectors obtained in these calcns. can be used to calc. the values of other phys. observables with high precision. Appropriate pseudorelativistic Hartree-Fock ab initio calcns. of level structure, oscillator strengths, and autoionization widths for procedural guidance and comparison purposes.

C.A. 1994, 120, N 18

Pb

1997

126: 284547b Two-color resonance ionization spectroscopy of autoionization states of Pb. Hasegawa, Shuichi; Yamamoto, Hiroshi; Kawasaki, Naoki; Ikeda, Hidematsu; Suzuki, Atsuyuki (Department of Quantum Engineering and Systems Science, The University of Tokyo, Tokyo, Japan 113). *AIP Conf. Proc.* 1997, 388(Resonance Ionization Spectroscopy 1996), 307-310 (Eng), AIP Press. Two-color resonance ionization spectroscopy was performed to observe even parity autoionization states. Following Rydberg series converging to the second ionization limit, we detd. the second ionization limit $6s^26p\ ^2P_{3/2}^0$ as 73899.5 cm^{-1} .

Snovii
Kofuji all.
reject
 $6s^26p\ ^2P_{3/2}^0$

C.A. 1997, 126, N21

PB I

1997

Johnson W.R., Saborowski
et al.,

Hennicke
Großheit,
meop.
panem

Phys. Scr. 1997, 56 (31),
252-263.

(au.



Mg (I) ; (II)

Pb

(DM. 39040)

1997

Jorge F.E., Barreto M.T.,
et al;

meop.
pacet

Chem. Phys. 1997, 221,
45-51.

Pf

1997

127: 285124u Three step excitation of the $6p_{3/2}ns$, nd autoionizing Rydberg levels via $6p7$, $8f1/2[5/2]_2$ levels of lead. Nawaz, M.; Farooqi, S. M.; Bhatti, S. A.; Ahad, A.; Butt, Saira; Ahmad, N.; Baig, M. A. (Applied Physics Division, PINSTECH, Islamabad, Pak.). *J. Phys. B: At., Mol. Opt. Phys.* 1997, 30(14), 3107–3116 (Eng), Institute of Physics Publishing. In this paper we present the Rydberg autoionization spectra of lead from $73,000\text{ cm}^{-1}$ to the $6p_{3/2}$ ionization limit at $73,900.65\text{ cm}^{-1}$ excited from the $6p7f$ and $6p8f1/2[5/2]_2$ intermediate levels. Term energies and FWHM of 40 lower n levels ($n = 10-15$) of the $6p_{3/2}$ -nd, $(n+2)s J = 1-3$ Rydberg series are reported for the first time.

(ei)

C. A. 1997, 127, N 20

1998

Pb

129: 164691j Calculation of thermodynamic functions during calorimetric studies (as illustrated by lead). Bodryakov, V. Yu.; Zamyatin, V. M. (Ural. Gos. Tekh. Univ., Yekaterinburg, Russia 620002). *Fiz. Met. Metalloved.* 1998, 85(4), 18-24 (Russ), Nauka. An approach to calcg. thermodn. properties of solids is presented based on the Debye model including anharmonic effects. Expressions are derived for chem. potential, enthalpy, heat capacity, and entropy. ...

(m. g.)

CA, 1998, 129, S13

F: Pb[-]

P: 3

1998

21Б110. Расчет энергии связи в отрицательных ионах тяжелых элементов / Глушков А. В., Ефимов В. А., Полевой А. Н., Витавецкая Л. А., Бутенко Ю. В., Малиновский А. В., Рязанов Е. А. // Ж. структур. химии. - 1998. - 39, 2. - С. 217-221. - Рус.

Выполнен расчет энергии связи электрона в отрицательных ионах сложных тяжелых элементов Ge, Sn, Pb на основе формализма поляризационного потенциала и релятивистской теории возмущений типа

ФЖХ, 1998, №1

Рэлея - Шредингера с модельным потенциалом нулевого приближения. Показано, что для получения приемлемой точности расчета существенную роль играет корректный учет основных корреляционных эффектов: поляризационного взаимодействия внешних частиц через поляризуемый остов и экранирования внешними частицами друг друга. Полученные результаты уточняют имеющиеся в литературе данные для искомых отрицательных ионов.